

# 一种拓展波纹喇叭带宽的新方法 ——负导纳区的应用

陈木华

(石家庄通信研究所)

通常设计的波纹喇叭都工作于正导纳区,其辐射性能的频带比理论上可达到2:1;但若考虑到要匹配性能好、辐射图的轴旋转性能优良(即交叉极化峰值电平低),其频带比实际上大约可得到1.4:1。这不能满足频谱复用的卫星通信地面站对天线的要求,它需要频带比为 $6425:3700 = 1.736:1$ 。为了解决这一问题,我们尝试利用负导纳区来拓展波纹喇叭的工作带宽。

大家知道,工作于主模 $HE_{11}$ 的波纹圆锥喇叭的交叉极化峰值<sup>[1]</sup>

$$P_x \propto \left| \frac{\Lambda_1 - 1}{\Lambda_1 + 1} I_1 \right|^2. \quad (1)$$

那么,计及多模工作时,

$$P_x \propto \left| \frac{\Lambda_1 - 1}{\Lambda_1 + 1} I_1 + \sum_{i \neq 1} \frac{T_i}{T_1} \frac{\Lambda_i - 1}{\Lambda_i + 1} I_i \right|^2, \quad (2)$$

式中

$$I_i = a^2 \int_0^1 J_2(x_i a t) J_2(u t) e^{-i \phi_M t^2} dt; \quad (3)$$

如无特别声明,  $i$  可为 1, 可不为 1。 $x_i a$  为与口径半径相同的波纹圆柱波导的特征值; $x_1 a$  为主模 $HE_{11}$  的特征值, $x_i a$  ( $i \neq 1$ ) 为不需要模的特征值。它们可由特征方程求得:

$$\begin{aligned} F_i(x_i a) - \left(\frac{\beta_i}{k}\right)^2 \frac{1}{F_i(x_i a)} &= \left(\frac{x_i a}{ka}\right) S, \\ (\beta_i a)^2 &= (ka)^2 - (x_i a)^2, \\ S &= \frac{P}{w} \frac{J'_1(ka)Y_1(kb) - Y'_1(ka)J_1(kb)}{J_1(ka)Y_1(kb) - Y_1(ka)J_1(kb)}. \end{aligned}$$

这里,  $P$  为波纹槽周期,  $w$  为槽宽,  $S$  为导纳, 当  $ka$  很大时,

$$S = -\frac{P}{w} \operatorname{ctg}[k(b-a)];$$

$J_i$ 、 $Y_i$  分别为贝塞耳 (Bessel) 函数和诺依曼 (Neumann) 函数; 带“'”者为其导数;  $k = 2\pi/\lambda$ ,  $\lambda$  为工作波长;

$$F_i(x_i a) = x_i a \frac{J'_1(x_i a)}{J_1(x_i a)};$$

而

$$\phi_M = \frac{\pi a}{\lambda} (\theta_0 + \theta'_0);$$

$u = ka\theta$ ;  $a, b = a + h$ ,  $\theta_0, \theta'_0$ ,  $\theta$  见图 1. (2) 式中  $A_i = \beta_i/[kF_i(x_i a)]$ , 为混合因子;  $T_i$  为模含量;  $T_i/T_1$  为不需要模 ( $i \neq 1$ ) 对主模  $HE_{11}$  的模比. 从(2)式可见, 只要控制不需要模 ( $i \neq 1$ ), 使模比  $T_i/T_1$  足够小,  $P_x$  就近似正比于  $\left| \frac{A_i - 1}{A_i + 1} \right|^2$ . 通常设计的波纹圆锥喇叭,  $S$  为  $+\infty$  到零, 此时,  $A_i$  为  $+\infty$  到 1, 相应的  $x_i a$  为 1.841184 到 2.404826. 当  $A_i$  较大时(此时  $S$  的值也较大), 交叉极化性能就不好. 因此辐射性能优良的情况是  $S$  大于零, 又接近于零; 亦即  $A_i > 1$ , 且接近于 1;  $x_i a$  小于 2.404826, 又接近于 2.404826. 当导纳  $S = 0$  时,  $A_i = 1$ ,  $P_x = 0$ , 此时对应的频率为  $f_0$ . 从(2)式可见, 只要使不需要模 ( $i \neq 1$ ) 的模比  $T_i/T_1$  足够小, 我们就完全不必遵守  $A_i \geq 1$  的常规进行设计, 而可以选取  $A_i < 1$  而又接近于 1 来进行设计,  $A_i < 1$  相当于  $S$  为负值,  $x_i a$  大于 2.404826. 所以, 我们的设计方法是, 在喇叭口径上, 不是将对应于  $S = 0$  的频率  $f_0$  作为频带低端频率  $f_{\min}$ , 而是在频带中选一个靠近  $f_{\min}$  的合适的频率作为  $f_0$ . 那么, 对于低于  $f_0$  的频率,  $S < 0$  (处于负导纳区),  $A_i$  稍小于 1; 对于高于  $f_0$  的频率,  $S > 0$ ,  $A_i$  稍大于 1; 在整个频带内,  $S$  的绝对值都比较小, 接近于零, 而  $A_i$  为 1 左右.  $S$  值也不能负得太多, 以免  $A_i$  与 1 相差太大, 从而可以比较容易地把不需要模的模比控制在足够小的范围内. 这样做, 可以比通常设计的喇叭的频带宽, 并可提高交叉极化性能.

在与光滑壁波导连接处的波纹输入口也利用负导纳区. 这里, 是选取频带中靠近频带高端频率  $f_{\max}$  的一个合适的频率  $f_{\infty}$ , 使  $S = \infty$ . 那么, 在高于  $f_{\infty}$  的频率,  $S$  为一个足够大的负值(处于负导纳区); 在低于  $f_{\infty}$  的频率,  $S > 0$ ; 在整个频带内,  $S$  的绝对值较大. 由于与它相连接的光滑壁波导的导纳为  $\infty$ , 所以, 可以得到良好的匹配性能.

通常, 圆锥波纹喇叭可由辐射段和匹配段组成, 如图 1 所示. 我们可以将整个喇叭看成是由许多折线段组成, 如图 2 所示. 一个折线段称做一个单元波导. 我们一定要控制

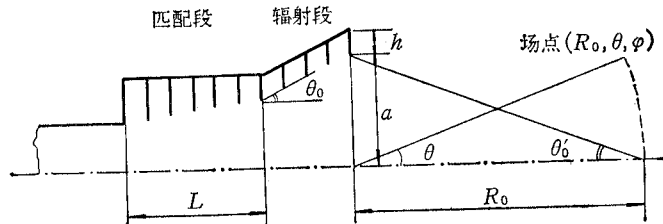


图 1 波纹圆锥喇叭示意图

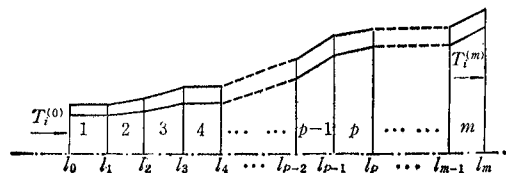


图 2 折线段组成的波纹圆锥喇叭

在整个喇叭中产生的不需要模的含量。折线式变化的波纹圆锥喇叭的模转换计算公式如下<sup>[2]</sup>:

$$[T_i^{(m)}] = \prod_{p=1}^m [\Phi^{(p)}] [F^{(p)}] [T_i^{(0)}], \quad (4)$$

式中  $i = n$ ,  $n$  为考虑的模的个数;

$$[F^{(p)}] = \begin{bmatrix} F_{11}^{(p)} & \cdots & F_{1n}^{(p)} \\ \vdots & \ddots & \vdots \\ F_{n1}^{(p)} & \cdots & F_{nn}^{(p)} \end{bmatrix},$$

为  $l_{p-1}$  处的模转换矩阵;  $m$  为单元波导数, 从匹配段输入口一直计算到喇叭口;

$$[\Phi^{(p)}] = \begin{bmatrix} \Phi_1^{(p)}, 0, \dots, 0 \\ 0, \Phi_2^{(p)}, \dots, 0 \\ \vdots & \ddots & \ddots & \vdots \\ 0, \dots, 0, \Phi_n^{(p)} \end{bmatrix}$$

为从  $l_{p-1}$  到  $l_p$  的传输矩阵, 即第  $p$  个单元波导的传输矩阵;  $[T_i^{(0)}]$  为入射模矩阵, 入射模为主模时,

$$[T_i^{(0)}] = \begin{bmatrix} 1 \\ 0 \\ \vdots \\ 0 \end{bmatrix}.$$

由(4)式可见, 控制喇叭的长度, 特别是匹配段的长度和控制每一单元波导的参数, 如内径、外径、张角等, 就可以控制单元波导的  $[\Phi^{(p)}]$  和  $[F^{(p)}]$ , 从而可以计算并控制各个模的含量  $[T_i^{(m)}]$ , 而达到使不需要模的模比足够小。

按照以上考虑, 进行了理论计算, 在匹配性能优良(如驻波比  $VSWR \leq 1.2$ )、交叉极化峰值较低(如优于  $-25\text{dB}$ )的条件下, 使用负导纳区的方法得到的圆锥波纹喇叭的频带比大约为  $1.8:1$ 。这约为通常用正导纳区设计方法得到的  $1.4:1$  的频带比的 1.3 倍。这已为我们的实验所证实。这样就可以满足频谱复用卫星地面站对天线宽频带的要求。

按照以上想法, 我们设计加工了两个波纹圆锥喇叭。喇叭由辐射段和匹配段组成, 如图 1 所示。

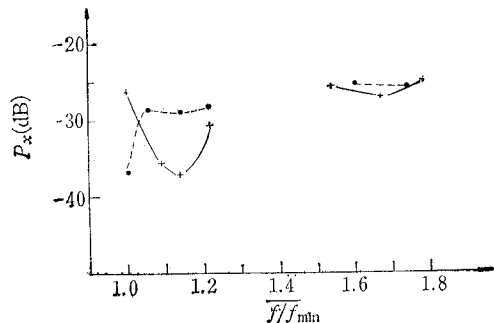


图 3 实测交叉极化峰值电平

**喇叭 1**  $\theta_0 \approx 10^\circ$ ,  $2a \approx 9.6\lambda_0$  ( $\lambda_0$  为  $f_0$  的波长),  $L \approx 10\lambda_0$ . 测量结果为: 在  $f_{\max}:f_{\min} = 1.736:1$  的频带内, 交叉极化峰值优于  $-25\text{dB}$  (参看图 3),  $\text{VSWR} \leqslant 1.7$ .

**喇叭 2**  $\theta_0 \approx 24^\circ$ ,  $2a = 3.9\lambda_0$ ,  $L \approx 13\lambda_0$ . 测量结果为: 在  $f_{\max}:f_{\min} = 1.787:1$  的频带内, 交叉极化峰值电平优于  $-24.6\text{dB}$  (参看图 3),  $\text{VSWR} \leqslant 1.18$ .

### 参 考 文 献

- [1] 水沢丕雄, 武田文雄, 別段信一, 電子通信学会論文誌 (B), 56-B (1973), 14.  
[2] 章日荣, 电子学报, 1983 年第 5 期, 第 50 页.

## A NEW METHOD FOR EXTENDING THE OPERATION FREQUENCY BANDWIDTH OF CORRUGATED HORNS BY USING THE NEGATIVE ADMITTANCE REGION

Chen Muhua

(Shijiazhuang Communication Laboratories)

A new method is presented for extending the operation frequency bandwidth of corrugated horns by using the negative admittance region, and it is verified by experiments.